

بهبود در یک الگوریتم حرکت شبکه و توسعه یک تفاضل مرکزی در حل جریان‌های ناپایا

شاہوردی مقدم، هومن^{۱*}، میرساجدی، سید مهدی^۲

۱- کارشناس ارشد هوافضا- دانشکده مهندسی هوافضا - دانشگاه آزاد اسلامی واحد علوم و تحقیقات

۲- استادیار- دانشکده مهندسی فناوری‌های نوین- دانشگاه شهید بهشتی

(دریافت مقاله: ۱۳۹۱/۰۵/۱۰ تاریخ پذیرش: ۱۳۹۱/۰۹/۱۰)

چکیده

در این تحقیق الگوریتمی ساده و بهبودیافته برای شبیه سازی حرکات نوسانی یا دورانی جسم و همچنین حل معادلات حاکم بر جریان ارائه شده است. بمنظور شبکه بنده میدان حل، از یک شبکه هیبریدی^۱ که ترکیبی از المان های مثلثی و چهارضلعی می باشد، استفاده شده است. در الگوریتمی که جهت حرکت شبکه استفاده شده به راحتی حرکات نوسانی یا دورانی جسم قابل اجرا می باشد، به گونه‌ای که به هیچ یک از متدهای رایج در شبکه های متحرک مانند میانه یابی، حذف یا درج نقاط یا شبکه بنده مجدد نیاز نمی باشد. گستره‌سازی میدان حل در این تحقیق مبتنی بر روش حجم کنترل بر مبنای المان محدود(CVFEM)^۲ بوده و بمنظور حل معادلات جریان، الگوریتم تفاضل مرکزی جیمسون بر اساس روش مذکور، توسعه یافته است، که از مهمترین مزایای روش ارائه شده، عدم نیاز به شناسایی اطلاعات سلول های مجاور جهت محاسبه شارهای جابه‌جایی است که این موضوع در حل مسائل سه بعدی بسیار حائز اهمیت می باشد و موجب سادگی قابل توجه در حجم ساختار داده‌ها می گردد. علاوه بر این در این روش محاسبه خواص جریان مستقیماً بر روی رئوس المان ها صورت می‌پذیرد، بدین ترتیب شرایط مرزی مستقیماً بر روی نقاط مرزی اعمال شده و در نتیجه خواص جریان بر روی مرزها بصورت دقیقترا محاسبه می‌شود. در این تحقیق و بر روی معادلات گذرا، دوبعدی و تراکم‌پذیر اویلر، روش‌های تسریع همگرایی شامل گامزمانی موضعی، آنتالپی میراکنده و هموار سازی باقی‌مانده‌ها نیز بمنظور کاهش زمان حل استفاده شده است. در انتها و برای اطمینان از صحت نتایج به دست آمده، این نتایج با داده‌های تجربی و سایر نتایج عددی موجود مقایسه شده‌اند.

واژه‌های کلیدی: حجم محدود بر مبنای المان محدود ، مرز متحرک، روش جیمسون ، الگوریتم تفاضل مرکزی

مقدمه

بی‌سازمان با توجه به انعطاف‌پذیری بالایی که دارد به خوبی می‌توانند برای این کار مورد استفاده قرار بگیرند و دوم، استفاده از یک الگوریتم عددی سریع و با دقت بالا. چنین الگوریتمی باید بتواند جریان غیر دائمی را که شامل شوک و سایر ناپیوستگی‌ها است با دقت بالایی شبیه‌سازی نماید.

بنابراین همانگونه که بیان شد، اولین گام در شبیه‌سازی عددی جریان در داخل یک میدان، شبکه‌بنده میدان می باشد. تولید یک شبکه مناسب تائیر بسزایی در روند حل میدان دارد. اهمیت این امر در خصوص مسائل حاوی مرز متحرک دوچندان است چرا که با کوچک‌ترین حرکت جسم، کیفیت اولیه شبکه نیز بسرعت از بین می‌رود. بنابراین اولین قدم در حل میدان مورد نظر، انتخاب و تولید شبکه‌ای مناسب،

از جمله مباحثی که در حال حاضر به عنوان یکی از چالش‌های دینامیک سیالات عددی مطرح می‌باشد، حل جریان غیر دائم در میدانی حاوی اجسام متحرک است. در اینجا حرکت جسم نه تنها باعث ایجاد یک جریان غیر دائم پیچیده می‌شود بلکه نیاز به تغییر شبکه داخل میدان را نیز ایجاد می‌کند که این خود باعث پیچیده و زمانبر شدن فرآیند تولید شبکه و حل جریان می‌شود. لذا بمنظور شبیه‌سازی دقیق جریان‌های غیر دائم بگیرد. اول، وجود یک سیستم شبکه‌بنده کارا و قابل انعطاف که بتواند حرکت اجسام را بخوبی و بدون آنکه کیفیت خود را از دست بدهد تعقیب نموده و آنرا مدل نماید که شبکه‌های

تمامی این الگوریتم‌ها، استفاده از مقادیر طرفین هر وجه سلول جهت دست‌یابی به دقت مرتبه دوم مکانی است. پرکاربردترین این الگوریتم‌ها روش‌های مک‌کورمک و جیمسون می‌باشد. روش مک‌کورمک (Mac-Cormak) در سال ۱۹۶۹ توسط مک‌کورمک و همکاران ارایه شد و در مدت یک دهه به پرکاربردترین روش عددی در آیرودینامیک تبدیل شد. در سال ۱۹۸۱ جیمسون و همکارانش روشی را ارایه و در سال‌های ۱۹۸۲ تا ۱۹۸۷ آنرا توسعه دادند [۱۲]. در این روش برای گسته‌سازی ترم مکانی از روش تفاضل مرکزی و برای گسته‌سازی ترم زمانی از انتگرال‌گیری زمانی رانگ کوتای چهار مرحله‌ای استفاده شده است. همچنین همانند سایر الگوریتم‌های عددی تفاضل مرکزی، در این روش نیز از عبارتهای میرایی عددی استفاده شده است.

در تمامی روش‌های ارائه شده برای پیاده سازی الگوریتم جیمسون در مراجع [۱۱-۱۶]، گسته‌سازی میدان حل بر پایه روش حجم محدود بوده و ساختار اطلاعاتی بکار برده شده بر مبنای ضلع^۱ می‌باشد. در این الگوریتم‌ها انتخاب حجم کنترل های میدان بر پایه روش سلول مرکز^۲ بوده و پارامترهای جریان در مرکز هر المان محاسبه شده است.

از نقاط ضعف این روش آن است که اولاً برای مدل‌سازی ترم‌های مکانی معادلات باید از اطلاعات سلول‌های مجاور استفاده کرد. عبارت دیگر ابتدا باید در کد مربوطه ساختار اطلاعاتی مبتنی بر ضلع ایجاد کرد، بطوریکه برای هر ضلع اطلاعات مربوط به سلول‌های مشترک را در کد مربوطه ذخیره سازی کرد. ثانیاً در این روش با توجه به اینکه پارامترهای جریان در مرکز هر المان محاسبه می‌شود، در نتیجه نمی‌توان شرایط مرزی را مستقیماً بر روی نقاط مرزی میدان اعمال کرد که این امر خود باعث کاهش دقت محاسبات بر روی مرزها می‌باشد.

در این تحقیق شبکه‌بندی میدان حل، شبکه هیبریدی بهبود داده شده در مرجع [۱] می‌باشد و گسته‌سازی میدان حل نیز با استفاده از روش حجم کنترل بر مبنای المان محدود صورت گرفته است. انتخاب حجم کنترل‌های میدان بر اساس روش سلول گره^۳ می‌باشد که بدین ترتیب پارامترهای جریان مستقیماً بر روی نقاط شبکه محاسبه می‌شوند. ساختار اطلاعاتی که در این روش به کار برده شده است به گونه‌ای می‌باشد که الگوریتم جیمسون به راحتی بر روی این ساختار قابل

کارآ و قابل انعطاف است که بدون آنکه از کیفیت آن کاسته شود، قادر به مدل‌سازی کلیه حرکت‌های جسم متحرک باشد. در زمینه شبکه متحرک نیز روش‌های مختلفی همچون روش تولید شبکه مجدد، روش تولید شبکه موضوعی، روش‌های فنری و ... وجود دارد که برای مثال به برخی از آنها در مراجع [۱-۶] اشاره شده است.

پس از تولید شبکه و تعیین ساختار داده‌ها، باید معادلات حاکم بر روی شبکه مذبور گسته‌سازی شود. فرآیند گسته‌سازی^۴ میدان فیزیکی و ایجاد میدان محاسباتی عملیات پیچیده‌ای بدنیال دارد و سهم قابل توجهی در کیفیت حل میدان جریان را عهده‌دار می‌باشد. انواع روش‌های عددی که در حال حاضر روی توسعه‌ی آنها کار می‌شود روش‌های مبتنی بر اختلاف محدود^۵، المان محدود^۶، حجم محدود^۷ و طیفی^۸ می‌باشند.

استفاده از روش‌های اختلاف محدود با توجه به این که مبتنی بر بسط سری تیلور هستند تنها به همراه شبکه‌های باسازمان امکان پذیر می‌باشد. در روش‌های المان محدود، گسته‌سازی میدان با تقسیم میدان حل به المان‌های بدون اشتراک و دلخواه از نظر شکل و اندازه صورت می‌گیرد. در این روش برای تقریب متغیرهای جریان از توابع ساده خطی یا درجه دو استفاده می‌شود.

روش‌های طیفی نیز در حال حاضر به مسائلی با هندسه‌های نسبتاً ساده و شرایط مرزی اندک، محدود می‌گردند و در جریان‌های دارای ناپیوستگی با مشکلاتی مواجه می‌باشند، ولیکن تحقیقات گسترده و قابل توجهی جهت رفع این محدودیت‌ها در حال انجام می‌باشد [۷ و ۸].

روش‌های حجم محدود با توجه به این که براساس انتگرال‌گیری از معادلات حاکم بر روی حجم کنترل تعریف شده‌اند، دارای انعطاف‌پذیری بالایی بوده و قابل اعمال بر روی شبکه‌های باسازمان و بی‌سازمان می‌باشند.

در هر یک از روش‌های اشاره شده، معادلات دیفرانسیل حاکم تبدیل به یک دستگاه معادلات جبری شده که با حل آن، پاسخ‌های نهایی جریان بدست می‌آید. همچنین مشتقات شارها را می‌توان با استفاده از روابط مرتبه اول، دوم و یا بالاتر تخمین زد که بر این اساس الگوریتم‌های مختلفی برای هر یک از روش‌های فوق ارائه شده است.

در سالهای ۱۹۵۰ تا ۱۹۸۱ میلادی الگوریتم‌های تفاضل مرکزی بسیاری توسعه داده شده است [۹-۱۱]. وجه مشترک

در این روش میدان حل شامل دو مرز دایروی شکل می‌باشد، در سطح داخلی که شامل جسم متحرک می‌باشد هر نوع شبکه‌ای می‌تواند ایجاد شود که در این تحقیق از شبکه بی سازمان مثلثی استفاده شده است، در سطح خارجی که فاصله میانی دو مرز دایروی می‌باشد، با استفاده از المان‌های چهارضلعی شبکه‌بندی شده است. شبکه مورد استفاده در این تحقیق در شکل‌های (۱-الف و ب) نمایش داده شده است.

متحرک‌سازی شبکه بمنظور مدل‌سازی حرکات نوسانی یا دورانی جسم

بر مبنای روش مرجع [۱] حرکت دورانی یا نوسانی جسم به لایه حلقوی بین دو دایره منتقل می‌شود و تمامی نقاط و سلول‌های داخل دایره اول بصورت صلب به همراه جسم حرکت کرده و بدون تغییر شکل باقی می‌مانند. بدین وسیله کیفیت شبکه نزدیک به جسم حفظ می‌گردد و تنها نقاطی که روی مرز دایره خارجی و در حقیقت روی مرز شبکه باسازمان (چهارضلعی) قرار دارند ثابت و بدون تغییر باقی می‌مانند بنابراین سلول‌هایی که در حد فاصل این دو دایره و در داخل حلقه یا لایه اطراف شبکه باسازمان قرار دارند، دچار تغییر شکل می‌گردند.

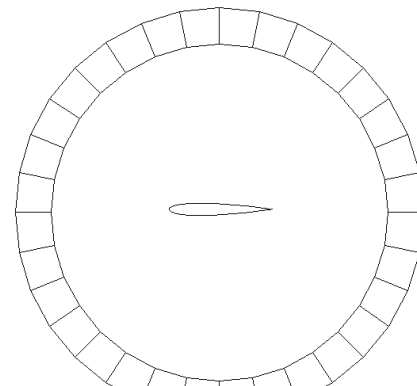
در مرجع [۱] بمنظور اصلاح کیفیت المان‌های مابین دو دایره در هنگام دوران، پس از $\frac{360}{n}$ تعداد نقاط روی مرزهای دایروی شکل می‌باشد) درجه چرخش که هر نقطه بر روی مرز دایره داخلی به مکان نقطه بعدی قبل از چرخش می‌رسد، شکل المان‌ها دچار بیشترین کشیدگی شده و از حالت یک المان طبیعی خارج می‌شود. در این وضعیت بدون جابجایی نقاط و نیاز به میان‌یابی اطلاعات و فقط با اصلاح شماره المان‌ها شکل هندسی شبکه به حالت اول قبل از شروع چرخش بازگشته و مجدداً می‌تواند بدون هیچ‌گونه محدودیت، به اندازه $\frac{360}{n}$ درجه دوران نماید. برای این منظور اتصالات و لبه‌های سلول‌های قرار گرفته در حلقه، اصلاح شده و گره‌های تشکیل دهنده هر سلول تغییر می‌کنند شکل (۲)، لازم بهذکر است در این فرآیند نقطه‌ای حذف یا تولید نمی‌شود بلکه تنها اتصالات تغییر داده شده و سازمان داده‌ای، برای تغییرات صورت گرفته اصلاح می‌گردد.

در این تحقیق با انتخاب المان‌های چهارضلعی به جای المان‌های مثلثی میان دو مرز دایروی شکل، همانگونه که در شکل (۳) مشاهده می‌شود، اصلاح شماره المان‌ها پس از

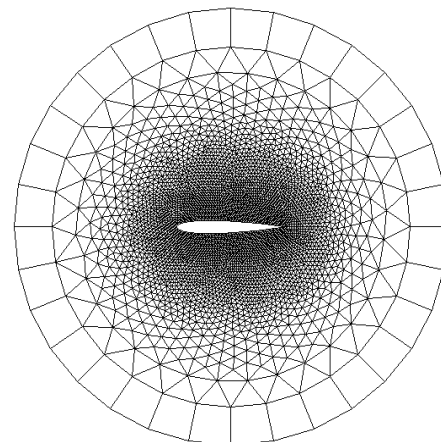
اجرا می‌باشد، با این تفاوت که برخلاف مراجع [۱۳-۱۶] اولاً نیازی به اطلاعات سلول‌های مجاور نمی‌باشد و ثانیاً خواص جریان مستقیماً بر روی نقاط میدان محاسبه می‌شود که افزایش دقت محاسبات در مرزها و کاهش زمان محاسبات را بدنبال دارد.

ساختار شبکه

در این تحقیق همانگونه که بیان شد در مدل‌سازی حرکات دورانی یا نوسانی یک جسم از شبکه هیبریدی با المان‌های چهارضلعی و مثلثی استفاده شده است. شبکه به کار رفته در این تحقیق در حقیقت بهبود شبکه‌بندی ایجاد شده در مرجع [۱] می‌باشد.

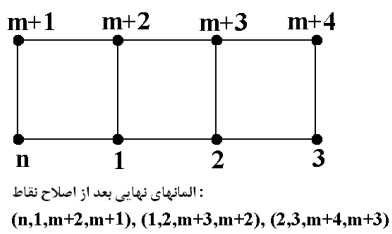
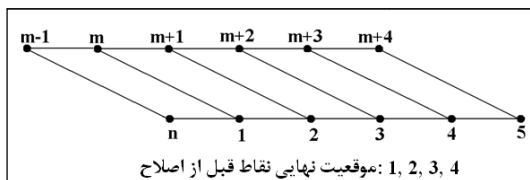
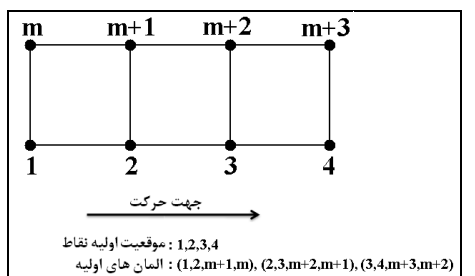
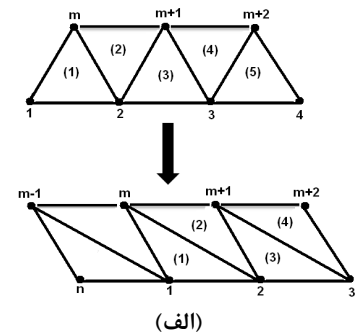


(الف)

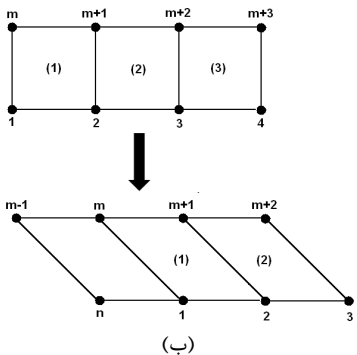


(ب)

شکل ۱- شبکه‌بندی مورد استفاده در این تحقیق،
الف) المان‌های چهارضلعی در فضای میانی دو دایره، ب) کل میدان

شکل ۳- نحوه اصلاح المان های لایه میانی پس از دوران $(2 \times \frac{360}{n})$ 

(الف)

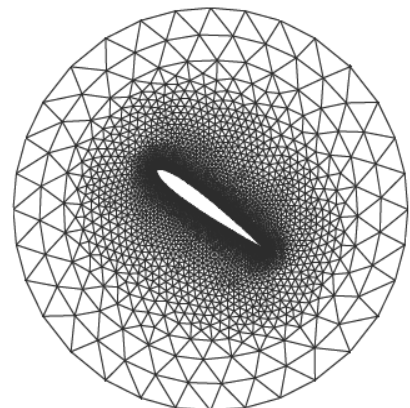
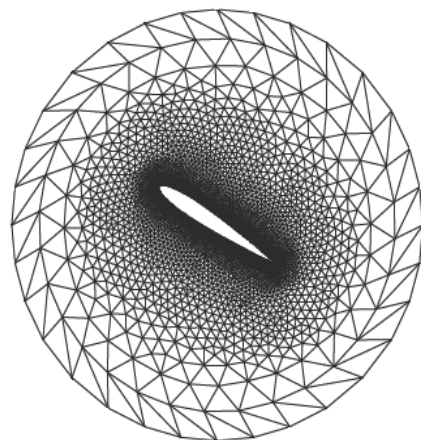


(ب)

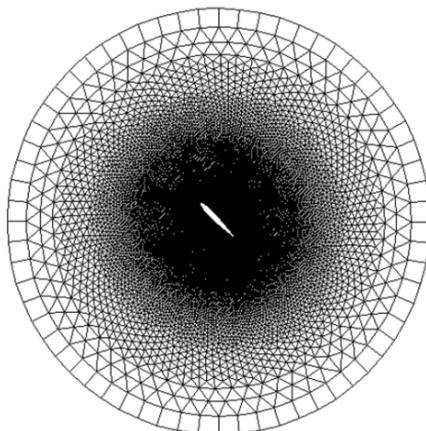
شکل ۴- مزیت استفاده از المان های چهارضلعی نسبت به المان های مثلثی در لایه تغییر شکل

$(2 \times \frac{360}{n})$ درجه چرخش صورت می‌گیرد که این امر باعث می‌شود که اولاً دامنه نوسانات یا دوران جسم نسبت به مرجع [۱] بدون اصلاح نقاط، دو برابر شود. ثانیاً بر اساس شکل (۴)، تعداد المان‌هایی که دچار تغییر شکل می‌شوند نسبت به مرجع [۱] به نصف کاهش یابد.

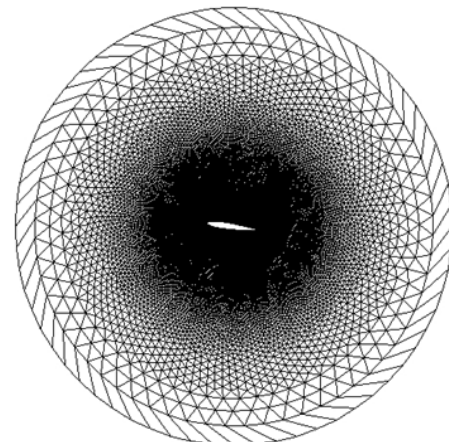
بمنظور درک بهتر از روش و در شکل (۵)، دوران بین ۰ تا ۴۵ درجه یک ایرفویل با شبکه اصلاح شده مذکور نمایش داده شده است. در این مثال تعداد نقاط روی مرز دایروی ۶۴ عدد در نظر گرفته شده است.



شکل ۲- چرخش ۳۵ درجه ای شبکه، (الف) قبل و (ب) بعد از انجام اصلاح شماره المان‌ها بر مبنای روش مرجع [۱]



(د) چرخش ایرفویل به اندازه ۴۵ درجه، چهار بار اصلاح شماره المان‌های بین دو دایره



(الف) چرخش ایرفویل به اندازه ۱۱/۲۵ درجه، یک بار اصلاح شماره المان‌های بین دو دایره

شکل ۵- چرخش ایرفویل بین صفر تا ۴۵ درجه با اصلاح نقاط پس از $\left(2 \times \frac{360}{n}\right)$ درجه چرخش

شبیه سازی جریان غیردائم روی شبکه اولیه

به منظور شبیه سازی جریان غیردائم حول یک جسم ابتدا باید شرایط اولیه جریان برای هنگامیکه جسم در موقعیت اولیه در داخل جریان قرار گرفته و قبل از اینکه شروع به حرکت نماید به دست آید. پس از آن و بدست آمدن پاسخ حالت دائم جریان مرحله بعد حرکت جسم داخل میدان و متناسب با آن حرکت شبکه داخل میدان می‌باشد و سپس حل معادلات غیردائم جریان بر روی شبکه اولیه می‌باشد.

با توجه به اینکه معادلات و الگوریتم‌های به کار رفته در حل معادلات دائم زیر مجموعه‌ای از معادلات و الگوریتم‌های به کار رفته در شبیه‌سازی جریان غیردایم روی شبکه متحرک است، در ادامه معادلات این معادلات بطور کامل بررسی شده است.

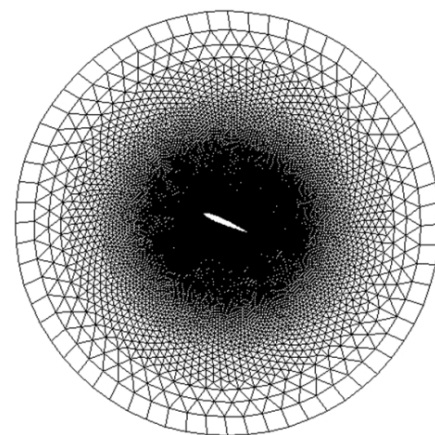
معادلات حاکم بر جریان

معادلاتی که در این تحقیق برای شبیه‌سازی جریان مورد استفاده قرار گرفته‌اند، معادلات دو بعدی، غیردائم و تراکم پذیر اویلر در شکل بقائی می‌باشند.

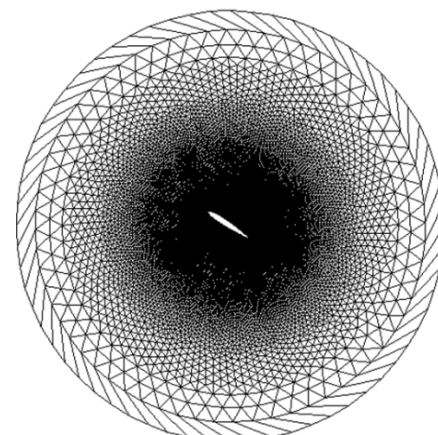
شکل بقائی این معادلات در حالت بی‌بعد بصورت زیر است.

$$\frac{\partial Q}{\partial t} + \frac{\partial F}{\partial x} + \frac{\partial G}{\partial y} = 0 \quad (1)$$

در این رابطه Q ، بردار متغیرهای بقائی، F و G ، بردارهای شار جابجایی در جهات مختلف می‌باشند و بصورت زیر تعریف می‌شوند.



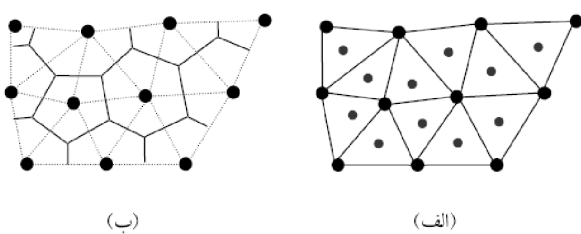
(ب) چرخش ایرفویل به اندازه ۲۳/۲۳ درجه، دو بار اصلاح شماره المان‌های بین دو دایره



(ج) چرخش ایرفویل به اندازه ۳۳/۷۶ درجه، سه بار اصلاح شماره المان‌های بین دو دایره

در این روش حجم کنترل هر نقطه، شامل بخش‌هایی از هر یک از المان‌های هندسی می‌گردد که این نقطه را احاطه نموده‌اند. شکل (۶).

در روش حجم محدود پس از انتگرال‌گیری از معادلات حاکم باید ترمونهای شار بگونه‌ای بر روی سطوح کنترل محاسبه شوند. گذشته از اینکه این ترمونهای چگونه محاسبه شوند، بطور قطع روش محاسبه به اطلاعات حجم کنترل‌های اطراف خود نیازمند است. این مساله به نوع حجم کنترل نیز بستگی ندارد یعنی در هر دو نوع سلول مرکز و سلول گره وجود دارد. علاوه بر این در روش سلول مرکز با توجه به اینکه خواص میدان در مرکز هر المان محاسبه می‌شود برای محاسبه خواص جریان روی مرزها باید از برونویابی خواص از داخل میدان بهره گرفت. این امر دقت اطلاعات روی مرزها را بخصوص در مرزهای داخلی که از اهمیتی خاص برخوردار است، کاهش می‌دهد. [۱۷]



شکل ۶- حجم‌های کنترل شبکه در روش، (الف) سلول مرکز
ب) سلول گره

اولین قدم در گسترش سازی معادلات با کمک روش حجم محدود، انتگرال‌گیری از معادلات حاکم بر روی حجم کنترل می‌باشد. اگر Ω حجم کنترل و $\partial\Omega$ مرز در برگیرنده آن باشد، نتیجه این انتگرال‌گیری با اعمال فرضیه گرین به صورت زیر خواهد بود :

$$\frac{\partial}{\partial t} \iint_{\Omega} Q \, dx dy + \oint_{\partial\Omega} (F dy - G dx) = 0 \quad (5)$$

با در نظر گرفتن یک حجم کنترل n وجهی و با فرض ثابت بودن خواص در داخل حجم کنترل، انتگرال فوق بصورت زیر در می‌آید.

$$A \frac{\partial Q}{\partial t} + \sum_{l=1}^n (F \Delta y - G \Delta x)_l = 0 \quad (6)$$

$$Q = \begin{bmatrix} \rho \\ \rho u \\ \rho v \\ \rho E \end{bmatrix}, F = \begin{bmatrix} \rho u_r \\ \rho u_r u + P \\ \rho u_r v \\ (\rho E + P) u_r + x_t P \end{bmatrix}, \quad (2)$$

$$G = \begin{bmatrix} \rho v_r \\ \rho u v_r \\ \rho v_r v + P \\ (\rho E + P) v_r + y_t P \end{bmatrix}$$

u و v مولفه‌های سرعت در جهات x و y ، P فشار، ρ چگالی و E انرژی داخلی سیال می‌باشد. u_r و v_r سرعت‌های کانتراورینت^{۱۱} بوده و بصورت زیر تعریف می‌شوند:

$$u_r = u - x_t, \quad v_r = v - y_t \quad (3)$$

که در روابط فوق x_t و y_t سرعت‌های حرکت اضلاع شبکه (مرزهای حجم کنترل) در جهات x و y هستند. در روابط فوق متغیرهای جریان با استفاده از مقادیر جریان آزاد بی‌بعد شده‌اند. همچنین برای تکمیل معادلات فوق از معادله حالت گاز کامل بصورت زیر نیز استفاده می‌شود.

$$P = (\gamma - 1)\rho \left[E - \frac{u^2 + v^2}{2} \right] \quad (4)$$

که در این رابطه γ نسبت گرمایی ویژه می‌باشد.

گستره سازی مکانی معادلات حاکم

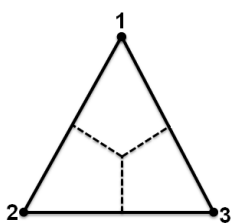
همانگونه که در مقدمه بیان شد بمنظور حل عددی معادلات حاکم بر جریان ابتدا باید میدان فیزیکی حل را به اجزای کوچکی تقسیم کرد و سپس با استفاده از روش‌های موجود میدان فیزیکی را به میدان محاسباتی جهت حل معادلات حاکم بر جریان تبدیل کرد. برای این کار روش‌های حجم محدود با توجه به انعطاف‌پذیری بالایی که با شبکه‌های بی‌سازمان و باسازمان دارند امروزه بسیار مورد استفاده قرار می‌گیرد.

در روش‌های حجم محدود که امروزه کاربرد بسیاری در حل مسائل عددی پیدا کرده است، دو نوع روش متفاوت برای انتخاب حجم‌های کنترل در یک میدان شبکه‌بندی شده وجود دارد. در روش اول که به روش سلول مرکز معروف است، هر یک از المان‌های هندسی میدان به عنوان یک حجم کنترل در نظر گرفته شده و خواص میدان در وسط این المان‌ها محاسبه می‌شوند، در روش دوم که به روش سلول گره معروف است، خواص میدان در رؤوس المان‌های هندسی شبکه محاسبه می‌شوند.

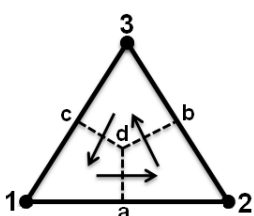
روش حجم کنترل بر مبنای المان محدود با ساختار اطلاعاتی مبتنی بر ضلع(CVFEM-EBDS)^{۱۳}

بمنظور گسترش میدان حل از روش فوق و لزوم تغییر در ساختار اطلاعاتی روش جیمسون که بصورت معمول و تا کنون در مراجع از آن استفاده شده است، بصورت زیر عمل می‌شود.

۱. هر یک المان‌های میدان حل (چهارضلعی و مثلثی) با استفاده از روش سلول گره انتخاب شده و اطلاعات بر مبنای سلول ذخیره می‌شوند. این اطلاعات شامل مختصات نقاط، شماره نقاط و شماره هر المان می‌باشد. قابل ذکر است که این اطلاعات برای هر المان بصورت جداگانه ذخیره شده و در این روش نیازی به اطلاعات المان‌های مجاور به یک المان نمی‌باشد.
۲. در هر المان، نقطه مرکزی آن و سپس میانه‌های آن المان بدست می‌آید. (هر المان چهارضلعی به دو المان مثلثی تقسیم می‌شود) دقت شود که در این روش ابتدا باید یک جهت مثلثاتی برای شماره‌گذاری نقاط هر المان در نظر بگیریم و این جهت باید برای تمامی المان‌های میدان یکسان باشد. در حقیقت در اینجا هر المان مثلثی به سه زیر حجم محدود تقسیم می‌شود. که هر زیر حجم شامل یکی از نقاط المان می‌باشد. در این قسمت ساختار اطلاعاتی جدید برای هر المان شامل نقاط ابتدایی و انتهایی هر ضلع میانه و نقاط مجاور به آن ضلع می‌باشد.
۳. پس از آنکه این عملیات برای تمامی المان‌های میدان انجام شد، مجموعه زیر حجم‌های محدود پیرامون هر نقطه، حجم کنترل بسته مورد نظر را پیرامون آن نقطه تشکیل می‌دهد. مجموعه این عملیات در شکل (۷-الف تا ج) نمایش داده شده است.



(الف) یک المان مثلثی بهمراه زیرحجم محدودهای مربوط به آن



که در آن A مساحت حجم کنترل و l نشان‌دهنده هر یک از وجوده آن می‌باشد.

با توجه به روش حل معادلات جریان در الگوریتم جیمسون انتخاب المان‌های میدان با استفاده از روش سلول مرکز و ذخیره‌سازی اطلاعات المان‌ها با استفاده از این روش بسیار مناسب است. در این روش خواص جریان در مرکز هر المان محاسبه می‌شود. ولی این روش دارای معایبی است که از جمله آنها نیاز به داشتن اطلاعات المان‌های همسایه و همچنین نیاز به برونویابی در مرزها می‌باشد که باعث کاهش سرعت محاسبات و دقت آنها در مرزها می‌شود.

اشکال این روش به ویژه در مسائل سه بعدی حاوی اجسام متحرک که شماره المان‌ها تغییر کرده و المان‌های همسایه نیز تغییر می‌نمایند، بیشتر جلوه می‌نماید. در این تحقیق بمنظور اجتناب از نیاز به اطلاعات المان‌های همسایه، از روش حجم کنترل بر مبنای المان محدود استفاده شده است.

از مزایای روش المان محدود آن است که همیشه و فقط از اطلاعات یک المان برای همان المان استفاده می‌کند. بنابراین استفاده از این ایده در روش‌های حجم محدود کارایی این روش‌ها را به مراتب بالاتر می‌برد.

از دیگر مزایای این روش آن است که معادلات بقا در آن بطور صریح ارضا می‌شوند. این بدان معناست که اگر شار عبوری از هر سطح کنترل دوبار محاسبه شود، ممکن است که مقادیر عددی این شار در اثر خطای عددی، با یکدیگر تفاوت داشته باشند و باعث تشکیل ترم‌های چشمی و چاه غیرواقعی در میدان جریان گردند. اما با یکبار محاسبه شار برای المان‌های چپ و راست، مقادیر شاری که از یک حجم کنترل خارج می‌شود، بطور صریح و بدون هیچگونه تفاوتی وارد حجم کنترل همسایه می‌گردد.

بر حسب نوع حجم محدود انتخابی می‌توان اطلاعات هندسی را به دو روش ذخیره نمود تا در روش حجم کنترل بر مبنای المان محدود مورد استفاده قرار گیرد. اگر حجم محدود بصورت سلول مرکز در نظر گرفته شده باشد، اطلاعات باید بر مبنای ضلع ذخیره شود. اگر حجم محدود از نوع سلول گره باشد، اطلاعات بر مبنای سلول ^{۱۴} ذخیره می‌شود. برای آکاهی از جزئیات بیشتر این روش می‌توان به مرجع [۱۸] مراجعه نمود. در ادامه به ذکر جزئیات روش پیاده شده در این تحقیق اشاره می‌شود.

راحتی امکان پذیر است که در ادامه به نحوه پیاده سازی این روش پرداخته شده است.

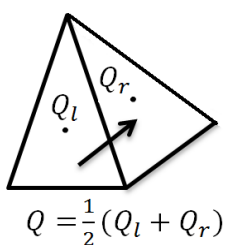
محاسبه شارهای غیرلزج

در این مرحله، مسئله مهم در حل معادلات بسته آمده نحوه مدل کردن شارهای عوری از سطوح حجم کنترل در رابطه^(۶) و نیز نحوه انتگرال گیری در زمان می باشد. اهمیت مدل کردن شارها از آنجا ناشی می شود که خواص جریان در نقاط کنترلی معلوم بوده و شارهای عبوری باید روی سطوح حجم کنترل محاسبه شوند، بنابراین، باید متغیرها و یا شارهای روی سطوح را به گونه ای به خواص روی نقاط کنترلی ارتباط داد.

محاسبه شارهای غیرلزج یا شارهای جابجایی به دلیل خاصیت انتقالی که دارند همواره با اشکالاتی همراه بوده بطوریکه در طول چند دهه اخیر روش های گوناگونی جهت تخمین هر چه بهتر این ترمها ارائه شده است. ساده ترین روشی که برای مدل سازی شارهای جابجایی می توان بکار برد، استفاده از روش جداسازی مرکزی درجه دوم^[۱۵] و ^[۱۶] است، در این روش مقدار متغیر بقائی بر روی وجود حجم کنترل، با استفاده از متوسط گیری از مقادیر متغیرهای بقائی نقاط کنترلی المان های مجاور، بصورت زیر محاسبه می گردد.

$$Q_i = \frac{1}{2} (Q_L + Q_R) \quad (7)$$

که در آن R و L نشان دهنده المان های سمت راست و چپ ضلع ۱ می باشد. شکل (۸).



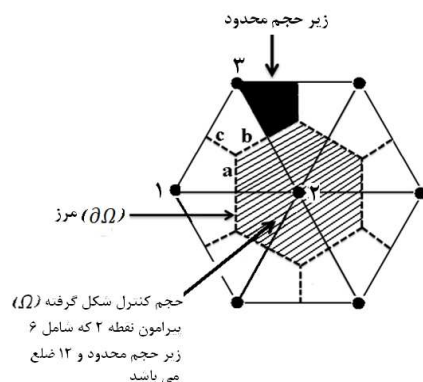
شکل ۸- نحوه مدل سازی شارهای جابه جایی با استفاده از الگوریتم گسسته سازی مرتبه ۲

برای محاسبه شارها نیز در این روش، از متد جداسازی مرکزی مرتبه دوم استفاده شده که الگوریتم آن در شکل (۹) نمایش داده شده است.

المان سمت راست المان سمت چپ انتهای ضلع ابتدای ضلع

a	d	1	2
b	d	2	3
c	d	3	1

ب) انتخاب جهت پاد ساعتگرد و نحوه ذخیره سازی اطلاعات در کد مربوطه برای هر المان. در اینجا نقاط هر المان نمایانگر المان های مجاور به هر ضلع زیر حجم محدود می باشد



ج) چگونگی شکل گیری حجم کنترل با استفاده از زیر حجم های محدود

شکل ۷- نحوه پیاده سازی روش حجم کنترل بر مبنای المان محدود با ساختار اطلاعاتی مبتنی بر ضلع

نکته قابل اهمیت در این روش آن است که چگونگی اعمال مقادیر بردار شار از مبانی حجم کنترل گرفته شده و چگونگی انتخاب المان ها از منظر المان محدود دیده شده است. عبارت دیگر هر المان بصورت مجزا در نظر گرفته شده، شار کمیت های بقایی، صرف نظر از المان های همسایه، بر روی نقاط متصل به آن المان نوشته می شود. سپس با تکرار این روش بر روی سایر المان ها، مقادیر شار بر روی هر نقطه (ناشی از المان های مختلف) با هم جمع شده و بدین ترتیب حجم کنترل پیرامون آن نقطه کامل می گردد. عدم نیاز به اطلاعات همسایه هر المان از بزرگ ترین ویژگی های این روش است که ساختار اطلاعاتی را تا حد بسیاری ساده تر می نماید. بدیهی است که این مزیت در حالت سه بعدی بیشتر خود را نمایان می سازد. همچنین با توجه به ذخیره سازی اطلاعات با الگوریتم ذکر شده، پیاده کردن الگوریتم تفاضل مرکزی برای محاسبه شارهای جابه جایی به

$R_i(Q)$ مجموع شارهای جابه جایی در جهات x و y می باشد که برای هر ضلع i از حجم کنترل Ω به صورت زیر محاسبه می گردد:

$$R_{il}(Q) = \begin{bmatrix} (Q_n - W_n)_l \rho_l \\ (Q_n - W_n)_l (\rho u)_l + P_l \Delta y_l \\ (Q_n - W_n)_l (\rho v)_l - P_l \Delta x_l \\ (Q_n - W_n)_l (E + P)_l + (W_n)_l P_l \end{bmatrix} \quad (10)$$

در این رابطه:

$$Q_n = u \Delta y - v \Delta x \quad (11)$$

$$W_n = x_t \Delta y - y_t \Delta x \quad (12)$$

با توجه به اینکه روش های مبتنی بر جداسازی مرکزی درجه دوم فاقد ترم اتلاف و پراکندگی می باشند، لذا زمانیکه با ترم های جابجایی معادلات بکار می روند، نوساناتی نامیرا ایجاد می کنند که اثرات نامطلوبی بر روند همگرایی حل معادلات می گذارند. برای حل این مشکل از مقداری استهلاک مصنوعی به همراه گسسته سازی مرکزی شارهای جابجایی استفاده می شود. در اینجا از ترم استهالک مصنوعی ارائه شده توسط جیمسون استفاده شده است [۱۵ و ۱۲].

با اضافه کردن این ترم به معادله (۹) خواهیم داشت:

$$\frac{d}{dt} (Q_i A_i) + R_i(Q) - D_i(Q) = 0 \quad (13)$$

$D_i(Q)$ در این رابطه ترم اتلاف مصنوعی اضافه شده به شارها به منظور جلوگیری از نوسانات می باشد. که برای اولین بار توسط جیمسون و همکارانش معرفی گردید. این ترم از یک بخش مرتبه دوم جهت حذف نوسانات در اطراف ناپیوستگی ها و یک بخش مرتبه چهارم جهت حذف نوسانات داخل میدان تشکیل شده است. این ترم بصورت زیر تعریف می شود:

$$D_i(Q) = \sum_{k=1}^{Nedges} d_k^2 + \sum_{k=1}^{Nedges} d_k^4$$

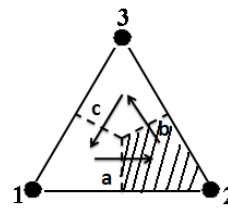
$$d_k^{(2)} = \lambda_k \varepsilon_k^{(2)} (Q_p - Q_i)_k$$

$$d_k^{(4)} = \lambda_k \varepsilon_k^{(4)} (\nabla^2 Q_p - \nabla^2 Q_i)_k \quad (14)$$

پس از پیاده سازی این الگوریتم برای تمامی المان های میدان، رابطه (۶) برای تک تک نقاط میدان نوشته می شود، برای مثال با نوشتن این رابطه برای نقطه ۲ در شکل (۷-ج)، خواهیم داشت:

$$A \frac{\partial Q}{\partial t} + \sum_{l=1}^{12} (F \Delta y - G \Delta x)_l = 0 \quad (8)$$

که در آن A مساحت حجم کنترل پیرامون نقطه ۲ و ۱ نشان دهنده هر یک از وجوده آن می باشد.



محاسبه شار گذرنده از هر ضلع:

$$(a): Q_a = \frac{1}{2} (Q_l + Q_r) = \frac{1}{2} (Q_1 + Q_2) \text{ ضلع}$$

$$(b): Q_b = \frac{1}{2} (Q_l + Q_r) = \frac{1}{2} (Q_2 + Q_3) \text{ ضلع}$$

$$(c): Q_c = \frac{1}{2} (Q_l + Q_r) = \frac{1}{2} (Q_3 + Q_1) \text{ ضلع}$$

محاسبه شار گذرنده از هر زیر حجم محدود نسبت به نقطه واقع در آن:

$$Q_1 = -Q_c + Q_a$$

$$Q_2 = -Q_a + Q_b$$

$$Q_3 = -Q_b + Q_c$$

شکل ۹- نحوه محاسبه شارهای جابه جایی با استفاده از الگوریتم CVFEM-EBDS گسسته سازی مرتبه ۲ در روش

با کمک رابطه (۸) و گسته مکانی معادلات با استفاده از روش تفاضل مرکزی توضیح داده شده و نوشتن آن برای تمامی نقاط میدان، ترم های زمانی و مکانی از هم مجزا شده و دستگاه معادلات دیفرانسیل معمولی زیر حاصل می شود.

$$\frac{d}{dt} (Q_i A_i) + R_i(Q) = 0 \quad (9)$$

که در این معادله A_i مساحت حجم کنترل Ω پیرامون نقطه i می باشد. که با توجه به متحرک بودن شبکه مقدار آن وابسته به زمان می باشد.

اساس دقت مورد نیاز برای مساله غیردائم محاسبه شده و مورد استفاده قرار گیرد.

بهمنظور استفاده از این الگوریتم ضمنی برای حل غیردائم معادله‌ی (۱۳)، این معادله را به صورت زیر می‌نویسیم:

$$\frac{d}{dt}(Q_i^{n+1}A_i^{n+1}) + R_i(Q^{n+1}) - D_i(Q^{n+1}) = 0 \quad (۱۹)$$

که در آن بالا نویس $n+1$ نشان دهنده مرحله‌ی زمانی جدید بوده و نشان دهنده آن است که ترم‌های باقیمانده و استهلاک مصنوعی در این رابطه می‌بایست بر حسب مقادیر جدید متغیرهای جریان و به صورت ضمنی محاسبه شوند. برای گسترش سازی ترم مشتق زمانی در این رابطه، از یک تقریب مرتبه دوم پسرو برای $\frac{d}{dt}$ استفاده شده است.

$$\begin{aligned} \frac{3}{2\Delta t}(Q_i^{n+1}A_i^{n+1}) - \frac{2}{\Delta t}(Q_i^n A_i^n) + \\ \frac{1}{2\Delta t}(Q_i^{n-1}A_i^{n-1}) + R_i(Q^{n+1}) - D_i(Q^{n+1}) = 0 \end{aligned} \quad (۲۰)$$

در این مرحله با تعریف مانده غیردائم R^* به صورت زیر:

$$R^*(Q^{n+1}) = \frac{3}{2\Delta t}(Q_i^{(n+1)}A_i^{n+1}) - \frac{2}{\Delta t}(Q_i^n A_i^n) + \frac{1}{2\Delta t}(Q_i^{n-1}A_i^{n-1}) + R_i(Q_i^{(n+1)}) - D_i(Q^{n+1}) \quad (۲۱)$$

و نوشتن معادله دیفرانسیل زیر نسبت به زمان مجازی τ که جواب معادله فوق، پاسخ حالت دائم آن می‌باشد:

$$A_i \frac{\partial Q_i^{n+1}}{\partial \tau} + R^*(Q^{n+1}) = 0 \quad (۲۲)$$

می‌توان با انتگرال‌گیری از این معادله در زمان مجازی τ پاسخ حالت دائم آن را که در حقیقت جواب معادله (۲۰) در زمان حقیقی می‌باشد، بدست آورد.

در این تحقیق از دستگاه معادلات (۲۲) با استفاده از روش صریح انتگرال‌گیری چهار مرحله‌ای رانگ کوتا در زمان مجازی به صورت زیر انتگرال‌گیری شده است:

$$\begin{aligned} Q^{(0)} &= (Q_i^{n+1})^m \\ Q^{(1)} &= Q^{(0)} - \frac{1}{4} \frac{\Delta \tau}{A_i} R^*(Q^{(0)}) \\ Q^{(2)} &= Q^{(0)} - \frac{1}{3} \frac{\Delta \tau}{A_i} R^*(Q^{(1)}) \\ Q^{(3)} &= Q^{(0)} - \frac{1}{2} \frac{\Delta \tau}{A_i} R^*(Q^{(2)}) \end{aligned} \quad (۲۳)$$

در رابطه فوق اندیس k ضلع مشترک سلول‌های p و i را نشان می‌دهد و اپراتور لاپلاس^۷ برای شبکه‌های بی‌سازمان دو بعدی، به صورت زیر عمل می‌کند.

$$\Delta^2 Q_i = \sum_{j=1}^{Nedges} (Q_j - Q_i) \quad (۱۵)$$

ضرایب $\varepsilon_k^{(2)}$ و $\varepsilon_k^{(4)}$ ضرایب تطبیقی و سازگاری هستند که با سنسور شوک v_k فعال و غیرفعال می‌شوند.

$$\begin{aligned} \varepsilon_k^{(2)} &= k_2 \max(v_k) \\ \varepsilon_k^{(4)} &= \max(0, k_4 - \varepsilon_k^{(2)}) \\ v_k &= \left| \frac{P_i - P_p}{P_i + P_p} \right| \end{aligned} \quad (۱۶)$$

سنسور شوک v_k با استفاده از تفاضل بی‌بعد فشار، نواحی گرادیان بالای ایجاد شده توسط امواج شوک را مشخص می‌کند. مقادیر استاندارد ضرایب ثابت k_2 و k_4 برای جریان غیر لزج به صورت زیر است:

$$\begin{aligned} \frac{1}{2} < k_2 < 1 \\ \frac{1}{256} < k_4 < \frac{1}{32} \end{aligned} \quad (۱۷)$$

در روابط ارائه شده λ_k ضریبی است که با مقادیر ویرثه ماتریس‌های زاکوبی جاگایی مرتبط می‌شود.

$$\lambda_k = |u_k \Delta y - v_k \Delta x| + c_k \sqrt{\Delta x^2 + \Delta y^2} \quad (۱۸)$$

که در رابطه فوق u و مؤلفه‌های بردار سرعت متوسط روی ضلع k و c سرعت محلی صوت $\sqrt{\frac{\gamma p_k}{\rho_k}}$ می‌باشد.

انتگرال‌گیری زمانی معادلات

استفاده از روش‌های صریح برای حل جریان‌های غیردائم با توجه به محدود بودن دامنه‌ی پایداری آنها بسیار زمانبر و توأم با هزینه‌ی محاسباتی بالا می‌باشد. این محدودیت در حل مسائل غیردائمی که شامل یک جسم نوسانی می‌باشد باعث می‌شود گام زمانی مجاز برای انتگرال‌گیری بر اساس محدودیت پایداری روش محاسبه گردد و نه بر اساس دقت مورد نیاز. استفاده از روش ضمنی دوزمانه برای حل جریان‌های غیردائم، باعث از بین رفتن این محدودیت شده و این اجازه را می‌دهد که گام‌زمانی مجاز جهت انتگرال‌گیری از معادلات غیردائم بر

ابزار دیگری که برای سرعت بخشیدن به همگرایی می‌توان استفاده نمود تعريف یک ترم میراکننده مصنوعی و اضافه کردن آن به معادلات حاکم به منظور کاهش نوسانات در طول همگرایی می‌باشد بدون آنکه به پاسخ حالت دائم معادلات لطمه‌ای وارد آورد. این ترم میراکننده متناسب با اختلاف آنتالپی لحظه‌ای کل H ، با مقدار جریان آزاد آن H_{∞} تعريف می‌شود. به این منظور می‌توان ترم‌های مصنوعی $\alpha\rho(H - H_{\infty})$ ، $\alpha\rho v(H - H_{\infty})$ ، $\alpha\rho u(H - H_{\infty})$ ، $\alpha\rho v(H - H_{\infty})$ ، $\alpha\rho u(H - H_{\infty})$ ، پیوستگی، ممنتوں و انرژی اضافه نمود. در این روابط α ضریب ثابتی بوده که مقدار بهینه‌ی آن برابر $0/05$ می‌باشد.

یکی دیگر از راههای افزایش نرخ همگرایی، افزایش محدوده‌ی پایداری و در نتیجه بالا رفتن عدد CFL و افزایش گام زمانی می‌باشد. هموارسازی باقی‌مانده‌ها یکی از روش‌هایی است که با اضافه کردن یک مشخصه‌ی ضمنی به الگوریتم عددی و هموارسازی تغییرات فرکانس بالای باقی‌مانده‌ها باعث افزایش حداکثر CFL مجاز می‌شود. با استفاده از این روش محدوده‌ی پایداری الگوریتم انتگرال‌گیری چندمرحله‌ای افزایش می‌یابد. برای این منظور مانده‌ی المان i در یک فرآیند ضمنی

به صورت زیر هموار می‌شود:

$$\overline{\text{Res}}_i = \text{Re} s_i + \varepsilon \nabla^2 \overline{\text{Res}}_i \quad (29)$$

که در آن علامت " $-$ " نشان دهنده‌ی مقادیر جدید باقی‌مانده‌های هموار شده می‌باشد. در این تحقیق از مقدار $0/5$ برای ε استفاده شده است.

استفاده از الگوریتم ضمنی برای قوانین بقای هندسه اگرچه اساس الگوریتم‌ها در دینامیک سیالات عددی ارضاء قوانین فیزیکی است، اما دو قانون مهمی که بقاء هندسه شبکه متحرک را در حل جریان‌های غیردائم، ارضاء می‌کنند، نیز از اهمیت بالایی برخوردار بوده و باید مورد توجه قرار گیرند. این قوانین که به قوانین GCL^{14} معروفند، تعادل بین پارامترهای هندسی را در شبکه‌های متحرک و ثابت حفظ نموده و معمولاً در حل معادلات و قانون بقایی حاکم در نظر گرفته می‌شوند. این دو قانون عبارتند از قانون بقای سطح (SCL^{15}) و قانون بقای حجم (VCL^{16} و 20^{17}).

زمانیکه موقعیت اولیه شبکه و مقدار جابجایی آن مشخص باشد، اطلاعات کافی از مشخصات حجم و سطح شبکه برای رعایت قوانین بقای هندسی در حین حرکت شبکه در اختیار

$$Q^{(4)} = Q^{(0)} - \frac{\Delta t}{A_i} R^*(Q^{(3)})$$

$$(Q_i^{n+1})^{m+1} = Q^{(4)}$$

که در آن بالاترین m نشان دهنده مرحله زمانی $m\Delta t$ بوده و: (24)

$$\begin{aligned} R^*(Q^{(1)}) &= \frac{3}{2\Delta t}(Q_i^{(1)} A_i^{n+1}) - \frac{2}{\Delta t}(Q_i^n A_i^n) + \\ &\quad \frac{1}{2\Delta t}(Q_i^{n-1} A_i^{n-1}) + R_i(Q_i^{(1)}) - D_i(Q^{n+1})R^*(Q^{(l)}) = \\ &\quad \frac{3}{2\Delta t}(Q_i^{(l)} A_i^{n+1}) - \frac{2}{\Delta t}(Q_i^n A_i^n) + \\ &\quad \frac{1}{2\Delta t}(Q_i^{n-1} A_i^{n-1}) + R_i(Q_i^{(l)}) - D_i(Q^{n+1}) \end{aligned}$$

همچنین مقادیر بهینه ضرایب مورد استفاده با استفاده از مرجع [18] بصورت زیر است.

$$\begin{aligned} \alpha_1 &= 0.333, & \alpha_2 &= 0.2667, & \alpha_3 &= 0.555, \\ \alpha_4 &= 1.0 & & & & \end{aligned} \quad (25)$$

این ضرایب مقادیر بهینه، به منظور همگرایی سریع حل

معادلات به روش رانگ-کوتای مرتبه چهار می‌باشند.

با توجه به محدودیت‌های همگرایی گام زمانی قابل قبول از رابطه زیر بدست می‌آید:

$$\Delta t_i = \min \left[\frac{CFL A_i}{\sum_{j=1}^n \lambda_j}, \frac{2\Delta t}{3} \right] \quad (26)$$

که در آن:

$$\lambda = u\Delta y - v\Delta x \quad (27)$$

روش‌های افزایش سرعت همگرایی

در این تحقیق به منظور افزایش سرعت همگرایی جهت رسیدن به پاسخ معادله‌ی (20) در زمان مجازی، از روش‌های افزایش سرعت همگرایی شامل گام زمانی موضعی، آنتالپی میراکننده و هموارسازی باقی‌مانده‌ها، استفاده شده است [15].

در الگوریتم رانگ-کوتای چندمرحله‌ای، پاسخ دائم جریان، مستقل از گام زمانی موضعی در هر نقطه می‌باشد لذا گام زمانی در هر نقطه می‌تواند با گام زمانی نقطه‌ی دیگر متفاوت باشد بدون اینکه پاسخ دائم دچار تغییر شود. بنابراین می‌توان از گام زمانی موضعی زیر در هر المان استفاده نمود.

$$\Delta t_i = \frac{CFL A_i}{\sum_{k=1}^{Nedge} |u_k \Delta y_k - v_k \Delta x_k| + c_k \sqrt{\Delta x_k^2 + \Delta y_k^2}} \quad (28)$$

پس از بدست آوردن سطح المان می‌توان مؤلفه عمودی سرعت حرکت ضلع المان را از رابطه زیر بدست آورد.

$$w_n = \frac{\Delta A}{l \Delta t} \quad (34)$$

که در آن ΔA مقدار تغییر مساحت المان و l طول ضلع المان می‌باشد. از این سرعت در محاسبه شارها استفاده می‌شود.

شرایط اولیه

شرایط اولیه تأثیر بسزایی در روند همگرایی حل معادلات دارد از اینرو تعیین دقیق و صحیح آن در روش‌های عددی از اهمیت بالایی برخوردار می‌باشد. شرایط اولیه‌ای که در این تحقیق بکار گرفته شده است. استفاده از مقادیر جریان آزاد برای کمیت‌های میدان می‌باشد. عموماً اعداد بی بعد جریان آزاد مانند عدد ماخ، عدد رینولدز و زاویه حمله از مشخصات معلوم جریان آزاد می‌باشند. بنابراین دیگر کمیت‌های بی بعد جریان از این مقادیر، قابل تعیین خواهند بود. فشار و چگالی بی بعد نیز برابر با یک فرض شده و بردارهای سرعت بصورت زیر محاسبه می‌شوند.

$$\begin{aligned} \rho_\infty &= 1 \\ P_\infty &= 1 \\ \rho u_\infty &= M_\infty \sqrt{\gamma} \cos \alpha \\ \rho v_\infty &= M_\infty \sqrt{\gamma} \cos \alpha \end{aligned} \quad (35)$$

شرایط مرزی

شرایط مرزی در این تحقیق مستقیماً بر روی نقاط دایره بیرونی اعمال گردیده است. در این حالت از شرایط مرزی مبتنی بر متغیرهای ریمان استفاده شده است.

شرط مرزی مورد استفاده بر روی سطوح جامد، شرط دیواره صلب است؛ چرا که در جریان غیرلزج، بر روی دیواره شرط لغزش وجود دارد. در این حالت شار نسبی از دیواره برای کلیه کمیت‌های بقایی صفر است. چنانچه مرز ثابت باشد، سرعت عمودی جریان بر روی مرز صفر بوده و چنانچه مرز متحرک باشد، سرعت عمودی جریان با با مولفه عمودی سرعت مرز برابر خواهد بود.

نتایج و بحث

در این تحقیق بمنظور کارایی روش ارائه شده و دقت الگوریتم مورد نظر، نتایج در دو بخش ارائه می‌شود. ابتدا معادلات جریان در حالت دائم (ایروفیل بدون نوسان) پیرامون ایروفیل NACA0012 در رژیمهای مختلف جریان شامل زیر صوت، گذر

خواهد بود. سایر مشخصات هندسی شبکه، بر حسب حجم و سطح قابل استخراج می‌باشند. بدین ترتیب می‌توان با محاسبه دقیق پارامترهای هندسی حجم و سطح هر حجم کنترل، قوانین بقای هندسی را رعایت نمود که البته این مسأله باید مستقل از روش عددی باشد.

با توجه به الگوریتم ضمنی دوزمانه به کار رفته در این تحقیق برای حل معادلات جریان غیر دائم، و بمنظور ارضاه قوانین بقاء هندسی و تصحیح اثر جابه‌جایی که در هر مرحله زمانی حرکت جسم باید در معادلات اعمال گردد، در اینجا از یک الگوریتم ضمنی استفاده شده است که در ادامه به آن پرداخته شده است.

محاسبه مساحت المان‌ها در معادله (۲۰) را می‌توان از مختصات جدید نقاط استفاده نمود و آنرا بصورت دقیق محاسبه کرد. از آنجا که حرکت شبکه بصورت تقریب در فرآیند حل وارد می‌شود این کار می‌تواند باعث ایجاد خطاهایی در فرآیند شبیه‌سازی شود. برای پرهیز از ایجاد چنین خطاهایی در شبیه‌سازی‌های غیر دائم، قوانین بقای هندسی، در کنار معادلات حاکم باید در نظر گرفته شده و ارضا شوند. برای ارضا قانون بقای حجم از معادله زیر در حالت دوبعدی استفاده شده است.

$$\frac{\partial}{\partial t} \iint_{\Omega} dA + \oint_{\Omega} V_m \cdot n \, d\Omega = 0 \quad (30)$$

که در اینجا A مساحت سطح کنترل (Ω) و V_m سرعت بر روی سطوح حجم کنترل و n بردار عمود بر سطح می‌باشد. انگرال گیری از معادله فوق باید با استفاده از الگوریتمی که برای حل معادلات جریان استفاده می‌شود، انجام شود. با اعمال الگوریتم انگرال گیری ضمنی مرتبه دوم مورد استفاده در این تحقیق معادله فوق بصورت زیر درمی‌آید.

$$\frac{3A_i^{n+1} - 4A_i^n + A_i^{n-1}}{2\Delta t} - V_i^{n+1} = 0 \quad (31)$$

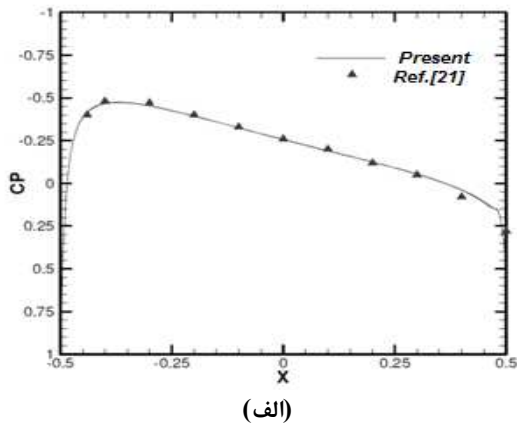
که در آن

$$V_i^{n+1} = \sum u_{m_j}^{n+1} \Delta y_j^{n+1} - v_{m_j}^{n+1} \Delta x_j^{n+1} \quad (32)$$

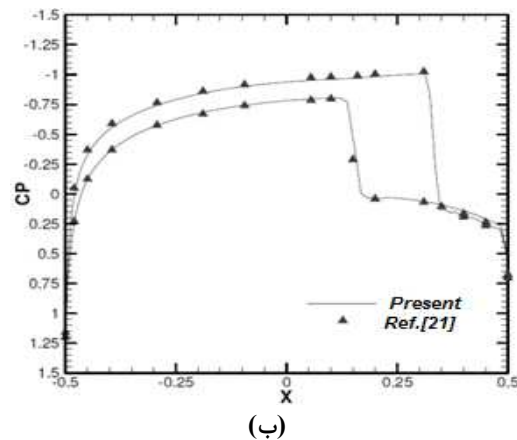
و بدین ترتیب

$$A_i^{n+1} = \frac{4A_i^n - A_i^{n-1} + 2\Delta t V_i^{n+1}}{3} \quad (33)$$

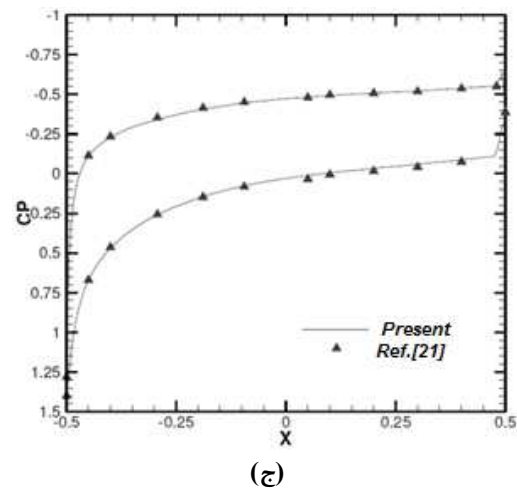
کاملاً مشخص است که هرچه از جسم دورتر و به مرز دایروی نزدیکتر می‌شویم شبکه درشت‌تر می‌شود.



(الف)



(ب)

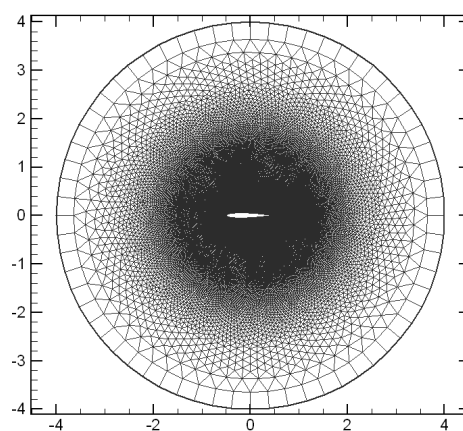


(ج)

شکل ۱۱- توزیع فشار روی ایرفویل در رژیمهای مختلف جریان و مقایسه نتایج حاصله با نتایج موجود در مرجع [۲۱]

صوت و مافوق صوت، حل شده و در بخش دوم، جریان غیردائم پیرامون ایرفویل نوسانی در مدل‌های CT1، CT5 و CT6 مورد تحلیل قرار گرفته‌اند. سپس نتایج حاصل با نتایج تجربی و عددی موجود مقایسه شده است.

در شکل (۱۰) شبکه مورد استفاده در این تحقیق نمایش داده شده است. این شبکه شامل ۶۴ المان چهارگوش و ۶۹۶۶۴ المان مثلثی می‌باشد. تعداد نقاط بر روی جسم نیز ۱۵۰ بوده و شعاع دایره مرز خارجی چهار برابر وتر جسم در نظر گرفته شده است. شایان ذکر است که اطلاعات ارائه شده پس از بررسی عدم وابستگی نتایج به تعداد شبکه ارائه شده است. برای مثال در دو شبکه ریز و درشت‌تر از مقدار اشاره شده، به ترتیب تعداد ۳۲ و ۹۶ نقطه بر روی مرز بیرونی و تعداد ۱۰۰ و ۲۰۰ نقطه بر روی ایرفویل در نظر گرفته شده بود.



شکل ۱۰- کل میدان مورد نظر(مبدا مختصات نقطه (۰,۰) می باشد)

الف) نتایج عددی جریان دائم

برای این حالت، جریان حول ایرفویل NACA0012 در سه رژیم متفاوت ماخ ۰/۵ تحت زاویه حمله صفر، ماخ ۸۵/۰ و زاویه حمله یک و ماخ ۱/۲ با زاویه حمله هفت درجه در نظر گرفته شده است. بمنظور تحلیل نتایج، منحنی تغییرات ضریب فشار در طول ایرفویل در شکل‌های (۱۱-الف، ب و ج) رسم شده اند که نتایج موجود با نتایج موجود در مرجع [۲۱] مقایسه شده است و نشان از دقت بالای الگوریتم ارائه شده در این تحقیق می‌باشد. لازم به ذکر است که بدلیل تشکیل شوک پیرامون ایرفویل، شبکه پیرامون ایرفویل بمنظور تسخیر شوک به حد کافی ریز در نظر گرفته شده است. که این ویژگی در شکل (۱۰)

این تحقیق معادلات اویلر می باشد که اثرات لزجت در نتایج در نظر گرفته نشده است.

با دقت در ماکریتم دامنه نوسانات در سه مدل اخیر، مشاهده می شود که، این مقدار مربوط به مدل CT1 و برابر با $5/3$ درجه می باشد. با یادآوری اینکه تعداد نقاط در نظر گرفته شده بر روی لایه تغییر شکل پذیر برابر با ۶۴ نقطه بوده و بدین ترتیب فاصله هر نقطه از هم $5/625$ درجه می گردد، لذا بنظر می رسد که در مثال های حل شده، ماکریتم دامنه تغییر شکل در المان ها که برابر با $11/25$ درجه می باشد به حد مورد نیاز جهت انجام فرایند اصلاح شماره المان ها نرسیده است. بعبارت دیگر و در بدترین حالت (بیشترین دامنه نوسان) بدون آنکه نیازی به اصلاح شماره المان ها در لایه تغییر شکل پذیر باشد، المان ها فقط دچار کشیدگی شده اند. در این قسمت و بمنظور نمایش اینکه تغییر در شماره المان ها در لایه تغییر شکل پذیر تاثیری بر روی جواب ها ندارد، مثال زیر ارائه می گردد.

در این آزمایش نیز میدان حل شامل ایرفویل NACA0012 می باشد که بین زوایای -12 تا $+12$ درجه نوسان می کند، بدین ترتیب عملیات اصلاح شماره المان ها با توجه به ماکریتم دامنه تغییر شکل در المان ها که برابر با $11/25$ درجه می باشد، انجام می پذیرد. در این وضعیت از شبکه متحرک به دو صورت اجرا گرفته شد. اول آنکه مطابق معمول هنگامی که دامنه تغییر شکل در المان ها به $1/25$ درجه برسد فرایند اصلاح شماره المان ها انجام شود و در حالت دوم، بدون آنکه در زاویه مزبور فرایند اصلاح نقاط صورت پذیرد، ایرفویل تا میزان دامنه 12 درجه نوسان نماید. از آنجا که برای این مثال حالت استانداردی یافت نشد، شرایط جریان بصورت زیر در نظر گرفته شد.

$$M_\infty = 0.5, \quad \alpha_m = 0.0, \\ \alpha_0 = 12.0, \quad k = 0.09$$

شایان ذکر است بدلیل آنکه هر دو حالت در یک شرایط جریانی مقایسه می شوند، تغییر در شرایط جریان تاثیری بر نتیجه مورد نظر ندارد. بمنظور مقایسه این دو حالت نمودار تغییرات ضریب نیروی قائم بر حسب زاویه حمله برای هر دو حالت رسم شده و در شکل (۱۳) ارائه شده است. همانگونه که مشاهده می شود در فرایند اصلاح مجدد شماره المان ها و بدون نیاز به هیچگونه میان یابی می توان به جواب های مطلوب دست یافت.

$$(الف): M_\infty = 0.5, \alpha = 0^\circ$$

$$(ب): M_\infty = 0.85, \alpha = 1^\circ$$

$$(ج): M_\infty = 1.2, \alpha = 7^\circ$$

ب) نتایج عددی جریان غیر دائم

در این بخش به منظور نشان دادن دقت، کارآیی و سرعت الگوریتم استفاده شده در این تحقیق، جریان غیر دائم حول مدل های CT1، CT5 و CT6 مورد بررسی قرار گرفته اند.

در مدل های اخیر حرکت نوسانی ایرفویل که حول نقطه یک چهارم وتر صورت گرفته، از نوع نوسان حول محور تاب بوده و تغییرات زاویه حمله نسبت به زمان بصورت زیر می باشد.

$$\alpha(t) = \alpha_m + \alpha_0 \sin(\omega t) \quad (36)$$

که در آن α_m زاویه حمله متوسط، α_0 دامنه نوسانات تاب و ω سرعت زاویه ای حرکت نوسانی ایرفویل می باشد که با فرکانس کاسته K دارای رابطه زیر است (c طول وتر ایرفویل و U_∞ سرعت جریان آزاد می باشد).

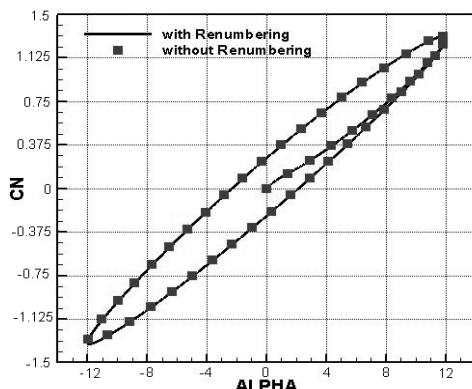
$$k = \frac{\omega c}{2U_\infty} \quad (37)$$

پارامترهای جریانی در سه مدل اخیر در جدول (۱) مشاهده می شود.

جدول ۱- پارامترهای جریانی در سه مدل ایرفویل نوسانی

Case	Ma	α_m	α_0	k
CT1	0.6	2.89	2.41	0.0808
CT5	0.755	0.016	2.51	0.0814
CT6	0.796	0.0	1.01	0.0202

در شکل های (۱۲) (الف تا ج) حلقه تغییرات نیروی قائم نسبت به زاویه حمله برای دو شبکه ریز و درشت با نتایج موجود در مرجع [۲۲] مقایسه شده و تطابق سیار خوب نتایج با داده های مرجع اخیر بخوبی مشاهده می شود. لازم به ذکر است که درصد اختلاف جزئی که در شکل های (الف و ب) با نتایج موجود در مرجع [۲۲] می تواند ناشی از عدم انطباق شرایط اولیه و محیطی آزمایش تجربی و شبیه سازی عددی باشد نه الگوریتم ارائه شده. همچنین معادلات به کار رفته در

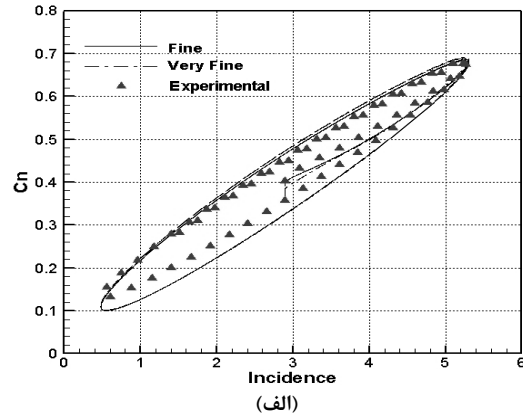


شکل ۱۳- مقایسه حلقه ضریب نیروی قائم به زاویه حمله در دو حالت با اصلاح شماره المانها در لایه تغییر شکل پذیر و بدون آن

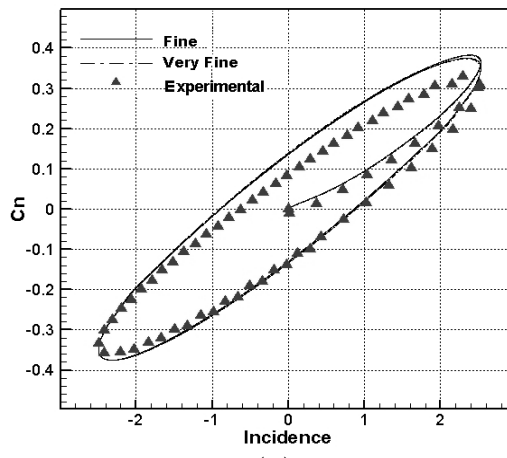
نتیجه گیری

در این تحقیق الگوریتمی ساده و بهبود یافته جهت مدلسازی حرکات نوسانی یا دورانی جسم داخل میدان ارائه شد. از ویژگی‌های مهم شبکه هیبریدی مورد استفاده در این تحقیق می‌توان به موارد زیر اشاره نمود. اول، تغییر شکل المان‌ها تنها در یک لایه صورت می‌پذیرد که در این لایه نیز اگر کیفیت المان‌ها از دست بروند تنها با یک شماره‌گذاری مجدد کیفیت آنها به حالت اول باز می‌گردد. دوم، تعداد نقاط و المان‌ها در کل میدان ثابت باقی می‌ماند. سوم، بدلیل آنکه در حین حرکت جسم، نقطه‌ای جابه‌جا و یا اضافه و کم نمی‌گردد، به میان یابی اطلاعات نیز نیازی نمی‌باشد. در این زمینه و با تغییر المان‌های مثلثی در لایه تغییر شکل پذیر به المان‌های چهارضلعی، کارایی حرکت شبکه در مقایسه با مرجع [۱] دوچندان گردید. علاوه بر این، معادلات دو بعدی، تراکم‌پذیر و گذراخ اوبلر نیز بر روی شبکه‌ای هیبریدی و با استفاده از روش حجم کنترل بر مبنای المان محدود گستته شد و با ارائه تکنیکی جدید در ساختار داده‌های روش جیمسون، میدان مورد نظر حل گردید. بدین ترتیب و با توجه به عدم نیاز به ساختار اطلاعاتی مرسوم این روش که مبتنی بر اطلاعات المان‌های همسایه است، ساختار داده‌ای شبکه در حد بسیاری ساده گردید که ویژگی بارز این امر در حل میدان‌های سه‌بعدی بیشتر نمایان می‌شود.

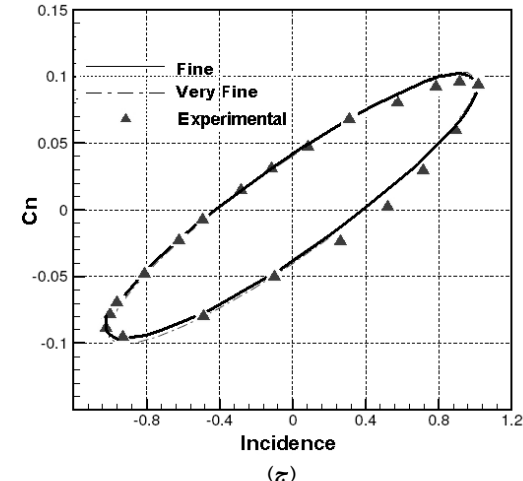
لازم به ذکر است که در مقایسه با مرجع [۱]، حل یک میدان دو بعدی با استفاده از مرجع [۱] حدود ۸ ساعت و در برنامه حاضر در حد ۱۰ دقیقه می‌باشد.



(الف)



(ب)



(ج)

شکل ۱۲- حلقه ضریب نیروی قائم به زاویه حمله برای مدل‌های غیردائم (الف)، CT1، CT5 و CT6 و مقایسه نتایج حاصله با نتایج موجود در مرجع [۲۲]

Journal, Vol.38, No. 11, November 2000.

- [5] Kallinderis Y., Khawaja A., McMorris H., "Hybrid prismatic/tetrahedral grid generation for Complex geometries", AIAA Journal, 1996;34:291-8.
- [6] Zhang L. P., Wang Z. J., "A Block LU-SGS implicit dual time-stepping algorithm for hybrid dynamic meshes", Computers & Fluids 33, pp. 891-916, 2004.
- [7] Arathi K. Gopinath, Antony Jameson., "Time Spectral Method for Periodic Unsteady Computations over Two- and Three-Dimensional Bodies", 43rd AIAA Aerospace Sciences Meeting and Exhibit, January 10–13, 2005 Reno, Nevada.
- [8] Yen Liu, Marcel Vinokur, Z.J. Wang, "Spectral difference method for unstructured grids I: Basic formulation", Elsevier, Journal of Computational Physics, Volume 216, Issue 2, 10 August 2006, Pages 780-801
- [9] R.C Swanson, Eli Turkel, "On central-difference and upwind schemes", Elsevier, Journal of Computational Physics, Volume 101, Issue 2, August 1992, Pages 292-306.
- [10] Eli Turkel, "Improving the accuracy of central difference schemes", 11th International Conference on Numerical Methods in Fluid Dynamics Lecture Notes in Physics, 1989, Volume 323/1989, 586-591
- [11] Jameson A., Schmidt W. and Turkel E., "Numerical solution of the Euler equations by finite Volume methods using Runge-Kutta time stepping schemes", AIAA Paper 81-1259, 1981.
- [12] Jameson A. and Mavriplis D., "Finite Volume solution of the two dimensional Euler equation on a regular triangular mesh", AIAA Journal, Vol. 24, NO.4, April 1986.
- [13] Tahmasbi V., "3D flow Simulation around a Single Body in General Motion", MS project, Amirkabir University of Technology, Spring 2010.
- [14] Hadidoolabi M., and Rabani R., "Surveying of Speed and Accuracy of Central Discretization and Upwind Algorithms in Unsteady Flows with moving Boundary", The 11th Iranian Aerospace

در انتهای با حل چند نمونه، کیفیت روش در هر دو زمینه شبکه و متدها حل، به اثبات رسید. توسعه الگوریتم ارائه شده در این تحقیق در مسائل سه بعدی توسعه مولفین صورت گرفته و بروزدی ارائه خواهد گردید.

پی نوشت

- 1 Hybrid
- 2 Control Volume based Finite Element Method (CVFEM)
- 3 Discretization
- 4 Finite Difference
- 5 Finite Element
- 6 Control Volume
- 7 Spectral
- 8 Edge Based
- 9 Cell Center
- 10 Cell Vertex
- 11 Contravariant Velocities
- 12 Cell Based
- 13 Control Volume based Finite Element Method with Edge Based Data Structure
- 14 Geometric Conservation Law
- 15 Surface Conservation Law
- 16 Volume Conservation Law

منابع و مراجع

- [1] Mirsajedi S.M., Karimian S.M.H., Mani M., "A Multizone Moving Mesh Algorithm for Simulation of Flow Around a Rigid Body With Arbitrary Motion", ASME Journal of Fluids Engineering, March 2006, Vol. 128, pp297-304.
- [2] Batina J. T., "Unsteady Euler airfoil solutions Using unstructured dynamic meshes", AIAA Journal, Vol. 28, No. 8, 1990, pp. 1381-1388.
- [3] Steger J. L., Dougherty F. C., and Benek J. A., "A Chimera grid scheme", advances in grid generation, edited by K. N. Ghia and U. Ghia, FED-Vol. 5, American Society of Mechanical Engineers, NewYork, 1983.
- [4] Nakashashi K., Togashi F. and Sharov D., "Intergrid-boundary definition method for overset Unstructured grid approach", AIAA

- Method for Flow at All Speeds", AIAA J., 33(11), pp. 1611-1618.
- [19] Ilinca A. and Ilinca C., "Geometric conservation laws for three-dimensional unstructured moving grid", CFD 98.
- [20] Zhang H., Reggio M., Trepanier J. Y. and Camarero R., "Discrete form of the GCL for moving meshes and its implementation in CFD schemes",
- [21] Test cases for inviscid flow field methods, AGARD advisory report No 211.
- [22] Compendium of Unsteady Aerodynamic Measurements, AGARD, R-702, 1982.
- [15] Society Conference - Shahid Sattari Aeronautical Uni. Sci. & Tech., Tehran- Iran- Feb-2012
- R. C. Swanson, E. Turkel, 1985, "A Multistage Time Stepping Scheme for the Navier- Stokes Equations", AIAA Paper 85-0055.
- [16] Jahangirian A., and Hadidoolabi M., "An implicit solution of the unsteady Navier-Stokes equations on unstructured moving grids", 24th International Congress of the Aeronautical Science, 2004.
- H. Alisadeghi, S. M. H. Karimian, and A. R. Jahangirian, "Simulation of 2D turbulent flows on hybrid dynamic meshes", The 6th Iranian Aerospace Society Conference- Feb. 2007- K.N.Toosi University of Technology.
- [17] Gaitonde, A. L., and Fiddes, S. P., 1995, "A Comparison of a Cell-Centre Method and a Cell-Vertex Method for the Solution of Two-dimensional Unsteady Euler Equations on a Moving Grid", Am. Antiq., 209, pp. 203–213.
- [18] Karimian, S. M. H., and Schneider, G. E., 1995, "Pressure-Based Control Volume Finite-Element